

УДК 538.971.01 : 537.533.8

ТРАНСФОРМАЦИЯ ПОВЕРХНОСТИ Ge (111) ВО ВНЕШНЕМ МЕХАНИЧЕСКОМ ПОЛЕ

B. E. Корсуков, C. A. Князев, A. С. Лукьяненко, P. Р. Назаров,
П. В. Патриевский, M. Шерматов

Изучается воздействие внешнего механического поля на поверхностные атомные слои грани (111) германия. Обнаружено значительное разуплотнение приповерхностного слоя при двухосном растяжении в плоскости поверхности, в несколько раз превышающее разуплотнение в объеме кристалла.

Совместное использование двух методов — метода характеристических потерь энергии электронов на поверхностных плазмонах и метода дифракции медленных электронов — позволяет получить достаточно полную картину наблюдаемого явления. Обратимая относительно нагрузки часть разуплотнения связана с деформацией поверхности слоя, значительная часть которой направлена перпендикулярно поверхности и приложенной нагрузке. Необратимая часть разуплотнения связана с интенсивным зарождением дефектов в приповерхностном слое. Делается вывод об ускоренном разрушении поверхностного слоя по сравнению с объемом кристалла.

Известно, что очень часто разрушение твердых тел начинается с поверхности. Обычным объяснением этого факта является то, что поверхностные слои содержат повышенное количество дефектов — концентраторов напряжений (поры, трещины, дислокации и т. д.) [1-3]. Однако в последнее время происходит осознание того, что даже идеальная граница является неустойчивым двумерным дефектом твердого тела.

На поверхности твердых тел многие физические характеристики имеют значения, отличающиеся от объемных, это касается и силовых постоянных [4, 5]. Наличие выделенного направления, перпендикулярного поверхности, приводит также к анизотропии атомных колебаний, наблюдавшейся на опыте.

Основываясь на этих результатах, можно ожидать, что деформация поверхности под действием внешней нагрузки имеет особенности по сравнению с деформацией объема материала. Кроме того, в поверхностных слоях можно ожидать ускоренного зарождения дефектов.

1. Методика эксперимента

В данной работе изучается деформация поверхности Ge (111) под действием внешней нагрузки двумя методами — методом спектроскопии характеристических потерь энергии электронов (ХПЭЭ) и методом дифракции медленных электронов (ДМЭ) [6-8].

Образцы вырезались из монокристаллической заготовки *p*- и *n*-типа в виде круглых шайб диаметром 30 и толщиной 0.3 мм, отклонение плоской поверхности от выбранной ориентации (111) не превышало 1°. Методика обработки поверхности Ge описана в [9]. Специальное устройство, описанное в работе [10], обеспечивало двухосное плоскоизогнутое состояние образца. Согласно расчетам, напряжение в образце достигало значения $8 \cdot 10^8$ Па [9]. Независимая оценка напряжения производилась по сдвигу фонового спектра под нагрузкой методом комбинационного

рассеяния света [11]. Напряжения, оцененные по методикам [9, 11], практически совпадают.

Эксперименты в вакууме проводились в спектрометре LH-10 с полусферическим электростатическим энергоанализатором. Измерения производились при давлении остаточных газов в камере 10^{-8} — 10^{-9} Па. Контроль химической чистоты поверхности осуществлялся методом электронной Оже-спектроскопии. Запись спектра ХПЭЭ в области потерь на объемных и поверхностных плазмонах велась в интервале энергий первичных электронов 500—1800 эВ при токе пучка $I_p = 5 \div 30$ мА.

Методом ДМЭ измерения проводились на тех же образцах, при той же методике нагружения. Дифракционная картина соответствовала симметрии грани (111). К сожалению, четкость дифракционной картины была невысока (что связано с трудностью эффективного отжига образца в нагружающем устройстве) и о характере реконструкции поверхности судить невозможно. Изучалось энергетическое положение максимума $E_p = 240$ эВ рефлекса (20) в зависимости от приложенной нагрузки.

2. Результаты эксперимента

Экспериментальные результаты по ХПЭЭ приведены на рис. 1, 2. На рис. 1 показаны спектры вторичных электронов в области ХПЭЭ на плазмонах для ненагруженного образца и образца под нагрузкой. Видно,

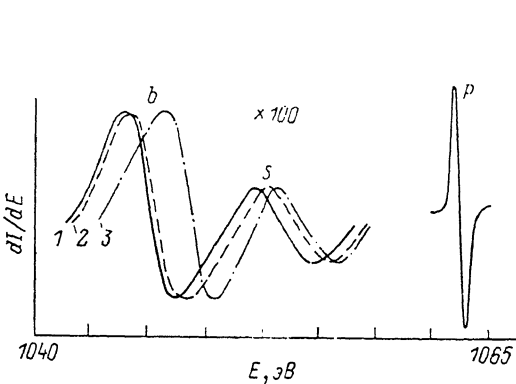


Рис. 1. Спектры ХПЭЭ на плазмонах в дифференциальной форме.

b — объемный, s — поверхностный плазменные пики,
 p — пик упругоотраженных электронов. 1 — $a=0$,
2 — $5 \cdot 10^8$, 3 — $9 \cdot 10^8$ Па.

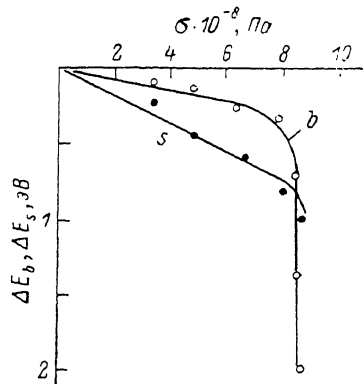


Рис. 2. Энергетические сдвиги объемного (b) и поверхностного (s) плазмонов в зависимости от нагрузки σ .

что при приложении нагрузки энергетическое положение и полуширина плазменных пиков меняются. В данной работе будут рассматриваться сдвиги энергетического положения пиков в зависимости от приложенной к образцу нагрузки (рис. 2). При напряжениях, меньших $4 \cdot 10^8$ Па, наблюдается линейное обратимое уменьшение энергии плазмонов с ростом нагрузки, причем для поверхностного плазмона более значительное. При дальнейшем повышении нагрузки до $6 \cdot 10^8$ Па характер зависимостей усложняется, однако наблюдаемые эффекты обратимы, т. е. при снятии нагрузки энергетическое положение пиков восстанавливается. Начинает наблюдаться и частичный гистерезис (сначала для поверхностного плазмона). При нагрузках выше $6 \cdot 10^8$ Па на кривых ΔE_s (с), ΔE_b (σ) наблюдается гистерезис, усиливающийся с повышением нагрузки. Наконец, при $\sigma = 9 \cdot 10^8$ Па энергия объемного плазмона резко уменьшается на величину порядка 2 эВ, в этом случае эффект необратим. Энергетическое положение плазменных пиков можно восстановить либо путем нагрева образца до температуры около 600 К, либо путем бомбардировки его поверхности ионами Ar^+ в течение нескольких минут.

Экспериментальные результаты по ДМЭ приведены на рис. 3, 4. На рис. 3, а, б приведены дифракционные картины от поверхности ненагруженного и нагруженного образца. Из этих картин дифракции видно, что они изменяются. Под нагрузкой увеличивается интенсивность диффузного рассеяния и меняются интенсивности рефлексов. Расшифровка дифракционных картин, подобных приведенным на рис. 3, и идентификация рефлексов проводились по схеме двумерной дифракции.

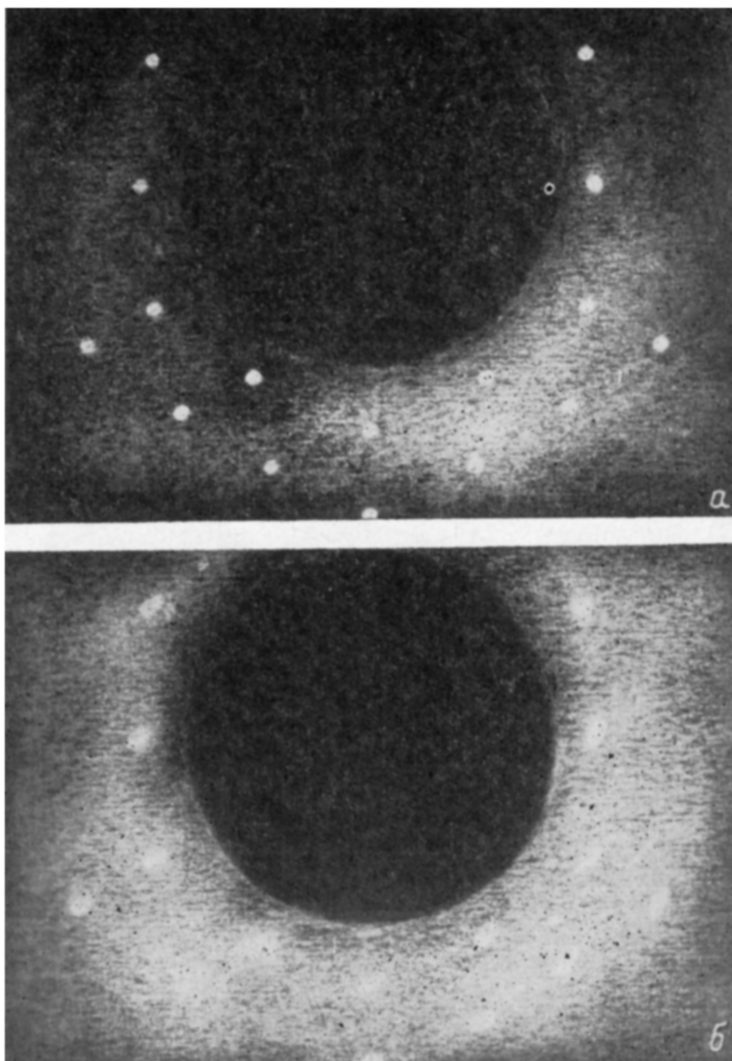


Рис. 3. Картинь ДМЭ от поверхности Ge (111).
а — ненагруженный образец, б — образец под нагрузкой $2.5 \cdot 10^8$ Па.

Обработка нескольких десятков дифракционных картин, снятых при различных нагрузках и энергиях первичных электронов, позволила обнаружить два типа эффектов. Первый эффект, о котором уже упоминалось выше, заключался в ухудшении контрастности дифракционных картин с повышением нагрузки, что проявлялось в повышении диффузного рассеяния и падении интенсивности в максимуме рефлексов. Этот эффект необратим относительно нагрузки.

Второй эффект заключается в уменьшении энергии максимумов дифракционных рефлексов в нагруженном образце. Второй эффект обратим относительно нагрузки, т. е. энергетическое положение максимума вос-

становливалось при разгрузке образца. Контрастность же дифракционной картины при снятии нагрузки восстанавливалась лишь частично, и только последующий отжиг восстанавливал контрастность полностью.

3. Обсуждение результатов

Рассмотрим область малых нагрузок, где эффекты имеют простой вид и в основном обратимы. В этом случае они могут быть просто связаны с деформацией кристаллической решетки. Действительно, в ленгмюровском приближении энергия объемного плазмона связана с плотностью электронов n , участвующих в плазменном колебании соотношением

$$E_b = \hbar\omega_b = \hbar(4\pi e^2 n/m)^{1/2}, \quad (1)$$

где \hbar — постоянная Планка; e , m — заряд и эффективная масса электрона. В германии, согласно [12], рассматриваемый плазменный гик $E = -17$ эВ связан с коллективными колебаниями электронов из валентной зоны. Если не учитывать изменения заселенности валентной зоны за счет термоактивированного возбуждения электронов в зону проводимости и на примесные уровни (константа равновесия этого процесса может изменяться с изменением ширины запрещенной зоны при приложении нагрузки), то разуплотнение кристаллической решетки вызовет уменьшение электронной плотности: $\Delta n/n = -\Delta V/V$, где $\Delta V/V$ — изменение объема кристалла и соответственно уменьшение энергии плазмона

$$\epsilon = \frac{\Delta V}{V} = 2 \frac{\Delta E}{E}. \quad (2)$$

Это уменьшение и наблюдается, по нашему мнению, на опыте в области малых нагрузок. Впрочем, следует указать еще на один фактор, который дает вклад в энергетический сдвиг плазмона, — это вариация эффективной массы с деформацией. Однако, согласно [13], эта вариация имеет второй порядок малости по ϵ и ею можно пренебречь.

Зависимость энергии поверхностного плазмона (с точностью до постоянного множителя) от электронной плотности такая же, как и в (1), однако в отличие от объемного поверхностный плазмон локализован в узкой поверхностной области (толщиной порядка 10 Å). Поэтому соответствующая электронная плотность вместе с наблюдаемыми ее изменениями должна быть отнесена к этой области. Соотношение (2) остается справедливым и для поверхностного плазмона, отличие лишь в том, что теперь вариация объема также относится к поверхностной области (области локализации поверхностного плазмона) — это, например, вариация объема элементарной ячейки на поверхности.

Пользуясь соотношением (2), по экспериментальным результатам (рис. 2) оценим разуплотнение в объеме и на поверхности кристалла, вызываемое внешней нагрузкой (рис. 4). При напряжении $\sigma = 5 \cdot 10^8$ Па это разуплотнение в объеме составляет $\Delta V/V = 1\%$. В то же время разуплотнение на поверхности, оцененное по энергетическому сдвигу поверхностного плазмона, составляет 5 %. Что касается объемного разуплотнения, то полученный результат согласуется с величиной деформации, рассчитанной для данного напряжения по известному упругому модулю германия. Повышенное значение разуплотнения поверхности, если предположить постоянство напряжения во всем сечении образца ($\sigma = \sigma_b$), можно объяснить не только большей деформацией поверхностных слоев за счет пониженного значения упругих постоянных на поверхности, но и образованием на ней дефектов.

Обратимся к результатам, полученным методом ДМЭ. Вначале обсудим эффект уменьшения энергетического положения рефлексов под нагрузкой. На рис. 5 показана величина этого уменьшения от нагрузки. Видно, что в пределах нагрузки от 0 до $3.1 \cdot 10^8$ Па энергия дифракционного максимума падает от 240 до 236 эВ. Поскольку данный эффект обра-

тим относительно нагрузки, то мы связываем его с упругой деформацией кристаллической решетки поверхностных слоев. Рассмотрим это более подробно. Смещение энергетического положения максимумов интенсивности на I (E_p) — кривой для рефлекса (20), поскольку он близок к зеркальному (угловое расстояние от центра дифракционной картины равно 28°), — определяется деформацией решетки в направлении, перпендикулярном плоскости поверхности. Вклад латеральной деформации в энергетический сдвиг не превышает 5 % от ее величины. Из условия Вульфа—Брэгга для деформации, пренебрегая латеральным вкладом, имеем

$$\varepsilon_{\perp} = \frac{\Delta a_{\perp}}{a_{\perp}} = -\frac{1}{2} \frac{\Delta E_m}{E_m}, \quad (3)$$

где a_{\perp} — межплоскостное расстояние, Δa_{\perp} — изменение межплоскостного расстояния, E_m — энергия в максимуме пика в ненагруженном образце, ΔE_m — изменение энергии пика в образце под нагрузкой. Взяв значения

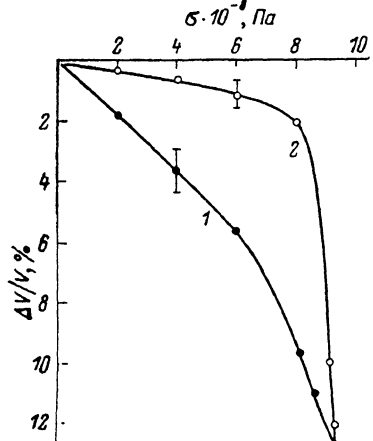


Рис. 4. Разуплотнение поверхности $\Delta V_s/V_s$ (1) и объема $\Delta V_b/V_b$ (2) от нагрузки в Ge.

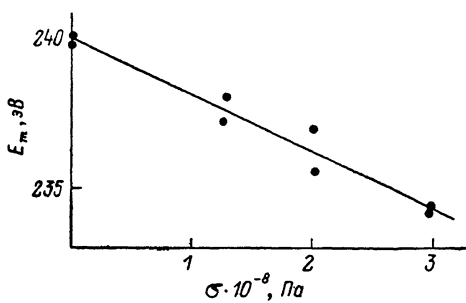


Рис. 5. Зависимость энергетического положения дифракционного максимума от нагрузки σ .

параметров из рис. 5, получим для нагрузки $(0 \div 3) \cdot 10^8$ Па деформацию ε_{\perp} порядка $0 \div 1$ %.

На языке механики сплошных сред деформация растяжения на поверхности в перпендикулярном направлении означает аномальный эффект Пуассона и в рамках механики трудно объясним.

При рассмотрении потенциала парного взаимодействия необходимо допустить большой вклад во взаимодействие дальних соседей, а также перестройку электронной структуры на поверхности и рассмотрение в связи с этим более сложных многочастных потенциалов взаимодействия [14].

К сожалению, оценить величину латеральной (в плоскости поверхности) деформации по угловому сдвигу рефлексов от нагрузки не удалось из-за недостаточной точности. Можно только утверждать, что она менее 1 % при $\sigma = 3 \cdot 10^8$ Па. Если считать, что деформация в плоскости поверхности по величине совпадает с деформацией в объеме, то оценка дает величину $\varepsilon_x = \varepsilon_y = 0.15$. Тогда общая деформация по всем трем направлениям в поверхностном слое $\Delta V_s/V_s$ составит величину 1.3 %. Если сравнить эту деформацию с разуплотнением поверхностного слоя, измеренным методом ХПЭЭ (рис. 4), то она намного меньше. Это означает, что существует еще вклад в разуплотнение поверхности. Таким вкладом, как указывалось выше, являются образующиеся в поверхностном слое дефекты типа вакансий, дислокаций.

На такую интерпретацию разуплотнения указывает и частичный гистерезис разуплотнения $\Delta V_s/V_s$, измеренного по сдвигу поверхностного плаз-

мона. Этот гистерезис начинает наблюдаться при нагрузках $\sigma \geq 3 \cdot 10^8$ Па, и его величина увеличивается с ростом нагрузки (рис. 4). Интересно отметить, что гистерезис разуплотнения в объеме (кривая 2) происходит только в области $\sigma \geq 8 \cdot 10^8$ Па, т. е. также при разуплотнении порядка 2 %. Это заставляет предположить, что в объемных слоях зарождение дефектов происходит при больших внешних нагрузках.

Обратимся снова к результатам, полученным методом ДМЭ. Рассмотрим эффект возрастания фона и падения интенсивностей дифракционных максимумов. Поскольку он необратим относительно нагрузки, мы связываем его с возрастанием вклада диффузного рассеяния на дефектах, которые образуются на поверхности при ее растяжении. Оценим величину повреждения поверхности, связанного с этими дефектами. Воспользуемся найденной эмпирически зависимостью [13] между интенсивностью дифракционного максимума и удельной площадью поврежденной поверхности

$$I_m(z) = I_{0m} e^{-2\alpha C(\sigma)}, \quad (4)$$

где I_{0m} — интенсивность рефлекса в отсутствие нагрузки; α — удельная площадь повреждений, приходящаяся на один дефект; $C(\sigma)$ — концентрация дефектов под нагрузкой. Отсюда для указанной площади образовавшихся дефектов при $\sigma = 3 \cdot 10^8$ Па получим величину порядка 0.1.

В настоящее время мы не можем точно сказать, сколько и каких дефектов образуется в поверхностном слое. Это могут быть ваканции, кластеры вакансий, выходы дислокаций, атомарные ступеньки и т. д. Можно только уверенно сказать, что это не примесные атомы, на что указывает контроль чистоты поверхности методом Оже-спектроскопии. По-видимому, обнаруженные дефекты дают вклад в разуплотнение поверхностного слоя, которое фиксируется методом ХПЭЭ (рис. 5).

Полученные результаты являются дополнением к совокупности экспериментальных фактов по структуре и атомной динамике поверхности Ge (111), полученных методом ДМЭ из температурных зависимостей интенсивности и положения дифракционных максимумов. Механическое нагружение является альтернативным способом непосредственного воздействия на образец и изучения его физических свойств. В этом случае для измерения разуплотнения поверхности, вызываемого внешней нагрузкой, удобным является метод ХПЭЭ, который малочувствителен к степени совершенства поверхности и в то же время имеет высокую чувствительность.

Разуплотнение поверхности Ge (111), вызываемое внешней нагрузкой, примерно в 3—5 раз больше, чем в объеме образца. Часть этой деформации связана с аномальным эффектом Пуассона и направлена перпендикулярно плоскости поверхности. Другая часть, особенно при больших нагрузках, связана интенсивному зарождению дефектов.

Отметим связь данного исследования с вопросами механической прочности, поскольку, как показывает опыт, разрушение нагруженных твердых тел во многих случаях начинается с поверхности. Полученные результаты указывают на то, что нагрузка приводит к большей деформации поверхности, тем самым к большему снижению энергии связи атомов на поверхности. Последнее приводит к ускоренному образованию дефектов в поверхностном слое, которое можно рассматривать как начало ее разрушения в поле механических сил.

В заключение хотелось бы поблагодарить С. Н. Журкова за постоянный интерес к работе, а также Б. А. Нестеренко и В. Л. Гилярова за полезные обсуждения.

Л и т е р а т у р а

- [1] Griffin A. A. Roy. Soc., 1921, vol. 221, A, p. 163—181.
- [2] Бережкова Г. В. Нитевидные кристаллы. М., 1969. 251 с.
- [3] Пух В. П. Прочность и разрушение стекол. Л., 1973. 270 с.

- [4] Несторенко Б. А., Снитко О. В. Физические свойства атомарно-чистой поверхности полупроводников. Киев: Наукова думка, 1983. 263 с.
- [5] Tabor D., Wilson J. M., Bastow T. J. Surf. Sci., 1971, vol. 26, N 2, p. 471—480.
- [6] Корсуков Б. Е. ФТТ, 1983, т. 25, № 11, с. 3250—3257.
- [7] Корсуков Б. Е., Лукьяненко А. С., Светлов В. И. Поверхность, 1983, № 11, с. 28—38.
- [8] Корсуков Б. Е., Лукьяненко А. С., Патриевский П. В., Светлов В. И. Поверхность, 1987, № 5, с. 27—31.
- [9] Корнишин М. С., Исанбаева Ф. С. Гибкие пластины и панели. М.: Наука, 1968. 290 с.
- [10] Баптизманский В. В. Автореф. канд. дис. Л., ФТИ, 1980. 251 с.
- [11] Корсуков Б. Е., Лукьяненко А. С., Назаров Р. Р. и др. Поверхность, 1988, № 2, с. 69—76.
- [12] Martin B. G., Wallis R. F. Sol. St. Commun., 1977, vol. 21, N 4, p. 385—387.
- [13] Полякова А. Л. Деформация полупроводников и полупроводниковых приборов. М.: Энергия, 1979. 215 с.
- [14] Pearson E., Halicioglu T., Tuller W. A. Surf. Sci., 1986, vol. 168, N 1, p. 46—51.
- [15] Jacobson K. L., Whener G. K. J. Appl. Phys., 1965, vol. 36, N 9, p. 2674—2682.

Физико-технический институт
им. А. Ф. Иоффе АН СССР
Ленинград

Поступило в Редакцию
31 декабря 1987 г.
В окончательной редакции
2 марта 1988 г.